

## ПРЕЦІЗІЙНІ ВАРІЯЦІЙНІ РОЗРАХУНКИ ЕНЕРГЕТИЧНИХ СПЕКТРІВ КУЛОНОПОДІБНИХ СИСТЕМ ТРЬОХ ТА ЧОТИРЬОХ ЧАСТИНОК

С. М. Бубін<sup>1</sup>, І. В. Сименог<sup>1,2</sup>

<sup>1</sup>Київський національний університет імені Тараса Шевченка, фізичний факультет,  
пр. Глушкова, 6, Київ, 03127, Україна

<sup>2</sup>Інститут теоретичної фізики імені М. М. Боголюбова НАН України,  
бул. Метрологічна, 14-б, Київ, 03143, Україна  
(Отримано 30 грудня 1999 р.)

На основі варіаційного методу Гальоркіна з гауссовим базисом розглянуто зв'язані стани квантових кулоноподібних систем тодіжних гравітуючих частинок — трьох частинок з різними типами перестановної симетрії хвильових функцій та чотирьох частинок з повносиметричними функціями. Виконано якісний аналіз енергетичних спектрів. Розглянуто внесок ястровських кореляцій до енергії основного стану трьох частинок. Проведено прецизійні розрахунки енергії для основного та декількох збуджених станів із нульовим орбіタルним моментом. Для різних енергетичних станів проведено з високою точністю розрахунки та виконано аналіз розмірів систем, розподілів густин та формфакторів, парних кореляційних функцій та розподілів за імпульсами. Дано оцінку енергетичних рівнів систем частинок з потенціялами взаємодії типу Юкави. Обговорено методику проведення високоточних варіаційних розрахунків, значну увагу звернуто на проблему вибору нелінійних варіаційних параметрів.

**Ключові слова:** квантова проблема декількох тіл, кулоноподібні системи, гравітуючі частинки, гауссовий базис, стохастичний варіаційний метод, енергетичні спектри.

PACS numbers: 02.70.-c, 03.65.Ge, 31.15.Pf

### ВСТУП

Останнім часом досягнуто суттєвого прогресу в ділянці теоретичних досліджень квантових систем декількох частинок різної природи. Це викликано двома обставинами: розробкою і практичним оволодінням ефективними методами розв'язків багатовимірних рівнянь Шредінгера для невеликої кількості частинок та появою комп'ютерів з достатньо великою обчислювальною потужністю. Завдяки цьому з'являються цікаві можливості для прецизійних розрахунків та аналізу систем декількох частинок, які раніше були недоступними, виявлення тонких фізичних ефектів у структурних особливостях енергетичних станів, а також надійного обґрунтування точності та області застосовності традиційних наближених методів. Насамперед це стосується фізики різноманітних систем частинок з кулоновою взаємодією, зокрема легких атомів та молекул, мезомолекулярних задач, систем гравітуючих частинок, а також малонуклонних та мультиваркових систем та інше. Для подібних систем з відносно невеликою кількістю ступенів вільності стало можливим знаходити всі основні їхні характеристики на основі фундаментальних квантово-механічних принципів без використання апріорних наближень.

Серед різноманітних наближених методів дослідження невеликої кількості частинок найбільшого поширення набули: варіаційний метод та його варіянти, такі, як метод осциляторного базису, гіперсферичних гармонік, метод гауссової та експонентного базисів і наближення кореляційних факторів Ястрова; метод рівнянь Фадеєва; адіабатичне представ-

лення; кластерні методи; різноманітні підходи типу стохастичного методу Монте-Карло. Кожний з цих методів має притаманні йому переваги, що залежать від специфіки обговорюваної задачі. У випадку зв'язаних станів систем частинок з достатньо довільними потенціялами взаємодії на особливу увагу заслуговують варіаційні методи [1,2]. Їм характерні відносна простота, висока ефективність, універсальність — тому саме з використанням варіаційних методів стало можливим проведення високоточних розрахунків [3].

Основою варіаційних методів є принцип Рітца — знаходження мінімуму енергетичного функціонала

$$E = \min_{\psi} \frac{\langle \psi | H | \psi \rangle}{\langle \psi | \psi \rangle} \quad (1)$$

квантової системи з гамільтоніаном  $H$  при умовах ортогональності між собою пробних хвильових функцій  $\psi$  для різних станів, коли в остаточному підсумку можуть бути знайдені відповідні точні хвильові функції та енергетичний спектр. Варіаційний принцип для енергетичного спектра, коли хвильові функції різних станів автоматично ортогональні, реалізується в універсальній варіаційно-проекційній схемі Релея-Рітца-Тимошенка-Бубнова-Гальоркіна (РРТБГ) [1]. Якщо хвильову функцію записати як лінійну комбінацію

$$\psi = \sum_{i=1}^{\kappa} c_i \phi_i \quad (2)$$

із повного набору базисних функцій  $\{\phi_i\}$  ( $\phi$  — представлення), тоді реалізація принципу Рітца (1) зводиться до узагальненої алгебричної задачі на власні значення

$$Hc = ESc, \quad (3)$$

де  $c$  —  $K$ -компонентний вектор коефіцієнтів  $c_i$ , а елементами матриць  $H$  і  $S$  є

$$H_{ij} = \langle \phi_i | H | \phi_j \rangle, \quad S_{ij} = \langle \phi_i | \phi_j \rangle. \quad (4)$$

Задача Гальоркіна (3) для повного базису з  $K \rightarrow \infty$  є точним матричним представленням ( $\phi$  — представлення) рівняння Шредінгера.

При виборі базисних функцій у розкладі (2) можливі два полярні підходи: 1) вибрати базисні функції, які б якомога ліпше апроксимували точну хвильову функцію найменшою кількістю доданків, хоча тоді матричні елементи не завжди можуть бути знайдені аналітично, а також можуть бути досить громіздкими, так що доведеться користуватися складними квадратурними формулами або використовувати стохастичні методи типу Монте-Карло; 2) вибирати базисні функції таким чином, щоб матричні елементи обраховувалися аналітично, але тоді необхідна кількість базисних функцій може бути доволі великою. У сучасних розрахунках переважає, як правило, другий підхід. А серед найпопулярніших базисів використовуються базиси гілерасового, експонентного (слетерового), гауссового та осциляторного типу. Перші два типи базисів у застосуванні до кулоноподібних систем, хоча і є здебільшого привабливішими, однак для більш ніж трьох частинок спричиняють серйозні проблеми з отриманням аналітичних виразів для матричних елементів. Так, для експонентних базисних функцій метод розрахунку матричних елементів для чотиричастинкових систем є доволі складним і становить зміст окремих праць (див. [4,5]), а для випадку систем більшої кількості частинок подібні методи на сьогодні взагалі ще не розроблені. Осциляторний базис же часто виявляє дуже повільну збіжність, навіть при оптимальному відборі найважливіших базисних функцій [6]. Найбільш універсальним і достатньо ефективним є використання гауссового варіаційного базису в задачах декількох частинок різної природи [7–15]. Розрахунок матричних елементів на цих функціях не становить труднощів для довільної кількості частинок і практично для довільної взаємодії. Це зумовлює широку популярність цього базису в розрахунках систем трьох, чотирьох та більшої кількості частинок. Вигляд базисних функцій гауссового типу для системи частинок у випадку нульового момента кількості руху є таким:

$$\phi_i = \exp \left\{ - \sum_{k < l}^N a_{kl}^i r_{kl}^2 \right\}. \quad (5)$$

Тут  $r_{kl} = |\mathbf{r}_k - \mathbf{r}_l|$  — міжчастинкові відстані, а  $a_{kl}^i$  — так звані нелінійні варіаційні параметри (обернені квадрати характерних розмірів за кожною з відстаней між частинками). При наявності тотожних частинок функції (5) необхідно відповідним чином симетризувати. Кількість внутрішніх координат системи  $N$  частинок при  $N \geq 3 \leq 3(N-2)$ , за винятком трьох координат центра мас та трьох кутів Ойлера для станів з нульовим повним орбіタルним моментом. Відносних же відстаней  $r_{ij}$  повна кількість  $N(N-1)/2$ , і цього достатньо для повного опису внутрішньої динаміки.

Однією з найпростіших, і водночас нетривіальних у теоретичному сенсі, є кулоноподібна система ґравітаційних частинок із парним ньютоновим потенціалом притягування (такі системи називають також системами самогравітаційних частинок), яку ми і будемо тут досліджувати. У безрозмірних одиницях гамільтоніан цієї системи має вигляд:

$$H = -\frac{1}{2} \sum_{i=1}^N \Delta_i - \sum_{i < j}^N \frac{1}{r_{ij}}. \quad (6)$$

Ця задача становить передусім значний методичний інтерес, як одна з еталонних фундаментальних універсальних задач квантової механіки. За своїм значенням для загальної теорії ця задача може поступитися хіба що еталонній задачі про  $N$ -частинковий гармонічний осцилятор. Але навіть задача трьох ґравітаційних частинок не допускає точного аналітичного розв'язку. Тому досить важливим є дослідження таких еталонних систем сучасними наближеними методами. Окрім того, ця задача має й деякі прикладні застосування в астрофізиці [16,17], теорії поля [18], а також як основа наближення сильного зв'язку в ядерних системах [19] та мультиваркових системах [20].

Ми докладно дослідили найнижчі зв'язані стани систем трьох та чотирьох ґравітаційних частинок з нульовим орбіタルним моментом. Для системи трьох частинок розглянули стани з усіма можливими типами симетрії хвильової функції. Було проведено високоточні варіаційні розрахунки всіх основних характеристик цих систем і встановлено нові закономірності щодо структури збуджених станів, а також дано якісний аналіз отриманих результатів.

## I. ЯКІСНИЙ АНАЛІЗ І ТРАДИЦІЙНІ ВАРІАЦІЙНІ ОЦІНКИ ЕНЕРГІЇ ТРЬОХ ЧАСТИНОК

У випадку слабкозв'язаних систем щодо порога розвалу на простіші підсистеми якісну інформацію про структуру системи декількох частинок можна отримати на основі кластерних представлень. Такий аналіз кластерного наближення дає змогу порівняти ці якісні результати з результатами високоточних варіаційних розрахунків і дати оцінку якості кластерних наближень.

Для системи трьох ґравітуючих частинок з гамільтоніаном

$$H = -\frac{1}{2}(\Delta_1 + \Delta_2 + \Delta_3) - \frac{1}{r_{12}} - \frac{1}{r_{13}} - \frac{1}{r_{23}} \quad (7)$$

обмежимося спочатку розглядом станів з повністю симетричними за перестановками частинок хвильовими функціями (три ґравітуючі бозони). У кластерному наближенні виділим підсистему з двох частинок (кластер типу воднеподібного атома). Третя ж частинка вважається слабков'язаною і знаходиться від нього достатньо далеко. Тоді в безполяризаційному кластерному наближенні варіаційну хвильову функцію системи можна зобразити як добуток двох функцій

$$\psi_\nu = \varphi_0(\xi)f(\eta), \quad (8)$$

де  $\varphi_0$  — хвильова функція зв'язаного стану підсистеми першої та другої частинки (кластер — основний стан воднеподібного атома), а  $f$  — функція, що описує рух третьої частинки в полі двох інших. Тут  $\xi$  та  $\eta$  — координати Якобі:

$$\xi = \mathbf{r}_1 - \mathbf{r}_2, \quad \eta = \frac{\mathbf{r}_1 + \mathbf{r}_2}{2} - \mathbf{r}_3. \quad (9)$$

Гіперрадіус визначається як

$$\rho^2 = \frac{1}{2}\xi^2 + \frac{2}{3}\eta^2. \quad (10)$$

Слід зауважити, що функція (8) є симетричною лише за перестановками перших двох частинок і для повноти бажано симетризувати її за перестановками всіх частинок, щоб урахувати тотожність. Тут при якісному аналізі для спрощення розглянемо лише безполяризаційне наближення, коли симетризація не проводиться. Для збуджених станів, які відповідають великим середнім відстаням між частинками, обмін, а тому і симетризація, відіграє невелику роль.

Використавши пробну варіаційну функцію (8) та явний вигляд двочастинової хвильової функції  $\varphi_0$

$$\varphi_0(\xi) = \frac{1}{\sqrt{8\pi}}e^{-\xi/2},$$

з проекційного варіаційного принципу

$$\langle \varphi_0 | H - E | \psi_\nu \rangle = 0 \quad (11)$$

отримуємо рівняння Шредін'єра для руху третьої частинки

$$\left[ -\frac{3}{4}\Delta_\eta + \left\langle \varphi_0(\xi) \left| -\frac{1}{|\xi/2 + \eta|} - \frac{1}{|-\xi/2 + \eta|} \right| \varphi_0(\xi) \right\rangle \right] |f(\eta)\rangle = \left( E - E_0^{(2)} \right) |f(\eta)\rangle. \quad (12)$$

Тут енергія двочастинкового порога розвалу  $E_0^{(2)} = -1/4$ . Для ефективного потенціялу взаємодії  $V_{\text{eff}}(\eta)$ , створеного першими двома частинками, маємо

$$V_{\text{eff}}(\eta) = -\frac{2}{\eta} + \frac{2}{\eta}(1+\eta)e^{-2\eta}. \quad (13)$$

Цей потенціял не має сингулярності на малих відстанях (за рахунок “розмазаності” підсистеми) і має кулонову асимптотику, тоді в системі існує нескінченна кількість рівнів, які згущуються поблизу двочастинкового порога

$$E_n - E_0^{(2)} \cong -\frac{4/3}{(n+1)^2}, \quad n = 0, 1, 2, 3, \dots \quad (14)$$

Результати розрахунку повних енергій основного та перших збуджених станів з нульовим орбітальним моментом  $L=0$  задачі (12) безполяризаційного кластерного наближення наведено в таблиці 1. Цей енергетичний спектр можна з урахуванням (14) фе-

номенологічно екстраполовати і на довільні збуджені стани (тим точніше, чим вищий збуджений стан)

$$E_n \cong -\frac{1}{4} - \frac{4/3}{(n+1)^2} + \frac{0.927}{(n+1)^3} - \frac{0.358}{(n+1)^4} + \dots \quad (15)$$

Подані в таблиці 1 результати для нульового орбітального моменту (та їх феноменологічна екстраполяція на високозбуджені стани) є верхньою варіаційною оцінкою таких енергетичних станів. Зауважимо, що з (12) легко отримати й оцінку для рівнів з довільним орбітальним моментом. Підкреслимо, що для всіх орбітальних моментів енергетичний спектр є безмежним.

Розглянемо тепер верхню оцінку енергії основного стану трьох частинок у наближенні одночастинкового середнього поля. Як відомо [21–29], система ґравітуючих частинок з гамільтоніаном (6) належить до класу квантових систем, для яких наближення самовузгодженого поля Гартрі–Фока є асимп-

тотично точним розв'язком у границі  $N \rightarrow \infty$ . Тоді для повносиметричних станів системи (6) для енергії основних станів з довільною кількістю частинок асимптотично точною верхньою оцінкою є [21,25]

$$E \cong -s(N-1)N^2 \quad (16)$$

(тут правильно враховано рух центра мас), де величина  $s$  визначається одночастинковим наближенням середнього поля Гартрі і її чисельне значення таке [18,17]:

$$s = 0.05426. \quad (17)$$

Тоді з (16) і (17) для енергії основного стану трьох частинок маємо

$$E_0 \cong -0.9767, \quad (18)$$

що дещо точніше від результату з таблиці 1.

Стан	$E$
основний	-0.9292
1-й збудж.	-0.4881
2-й збудж.	-0.3682
3-й збудж.	-0.3203
4-й збудж.	-0.2965
5-й збудж.	-0.2830

Таблиця 1. Енергетичний спектр системи трьох гравітуючих бозонів з нульовим повним моментом у кластерному безполяризаційному наближенні.

Для основного повносиметричного стану системи трьох гравітуючих бозонів цікаво розглянути точніші прості наближення. У праці [30] вказано на винятково високу якість пробних хвильових функцій експонентного типу в оцінках знизу для енергії основного стану систем гравітуючих бозонів. Це було підтверджено й результатами праці [31,32], де проведено прості варіаційні верхні оцінки на таких функціях для систем трьох та чотирьох частинок. Зупинимось докладніше на цих оцінках із використанням однієї експонентної функції. Їхня привабливість полягає ще й у тому, що їх можна провести в явному аналітичному вигляді, без якихось громіздких чисельних розрахунків. Використаємо пробну функцію

$$\Phi_\beta = e^{-\beta(r_{12}+r_{13}+r_{23})}, \quad (19)$$

що є частинним випадком функцій ястровського типу. Оптимальне значення параметра  $\beta$  та верхню оцінку  $\bar{E}$  енергії основного стану знаходимо з умови мінімуму енергетичного функціонала (1). Розрахунок необхідних матричних елементів досить просто провести в периметричних координатах:  $u = r_{12} + r_{13} -$

$r_{23}$ ,  $v = r_{12} - r_{13} + r_{23}$ ,  $w = -r_{12} + r_{13} + r_{23}$ . Обчислення середнього значення гамільтоніана дає

$$\bar{E} = \frac{30}{7}\beta^2 - \frac{30}{7}\beta, \quad (20)$$

що при оптимальному значенні  $\beta = 1/2$  становить

$$\bar{E} = -\frac{15}{4} = -1.07143. \quad (21)$$

Цей результат уже суттєво ліпший від наведеного в таблиці 1 у кластерному наближенні та від (18) і досить близький (див. далі) до “точного” варіаційного розрахунку енергії основного стану, який становить

$$E_0 = -1.07177937297. \quad (22)$$

Відзначимо, що точність оцінки (21) становить чотири знаки і є достатньо добрим результатом, ураховуючи, що сама функція (19) має досить простий вигляд і всі розрахунки виконуються явно. Це вказує на високу якість пробної функції (19). Варіаційні верхні оцінки на інших простих пробних функціях такі: осциляторне наближення  $\exp(-\rho^2)$  дає  $E_0 = -3/\pi = -0.9549$ ; нульове наближення гіперсферичного базису  $\exp(-\rho)$  дає  $E_0 = -(16/5\pi)^2 = -1.0375$  [6] (тут  $\rho$  — гіперрадіус (10)).

Використаємо функцію (19) для оцінки енергії основного стану знизу за формулою Темпла

$$E > \underline{E} = \langle H \rangle - \frac{\langle H^2 \rangle - \langle H \rangle^2}{E_1 - \langle H \rangle}, \quad (23)$$

тут  $E_1$  — енергія першого збудженого стану тої ж симетрії, що й основний стан. На перший погляд, це викликає деяку незручність, бо для оцінки енергії основного стану треба знати енергію першого збудженого. Але справа в тім, що точність, з якою необхідно знати  $E_1$ , може бути достатньо грубою, у нашому випадку 1–2 десяткові знаки, оскільки в чисельнику стоїть дисперсія гамільтоніана, яка є малою і тим менша, чим більше пробна хвильова функція до істинної. Власне, дисперсія гамільтоніана і визначає якість пробної функції. У крайньому разі  $E_1$  можна взяти з таблиці 1. Але оскільки ми намагаємося з'ясувати якість функції (19), то все ж таки візьмемо “точне” варіаційне значення для  $E_1$  (див. наступні розділи). Для оцінки знизу остаточно матимемо такий вираз:

$$\underline{E} = \bar{E} - \frac{\left(\frac{240}{7}\pi^2 - \frac{2048}{7}\right)\beta^4 - 64\beta^3 + \frac{176}{7}\beta^2 - \bar{E}}{E_1 - \bar{E}}, \quad (24)$$

де  $\bar{E}$  відповідає вираз (20). При значенні  $\beta = 1/2$ , яке

є оптимальним для верхньої оцінки, із (24) отримаємо

$$\underline{E} = -1.0738.$$

У точці максимуму (24) значення варіаційного параметра  $\beta = 0.49465$  і для енергії оцінка знизу матиме таке значення:

$$\underline{E} = -1.07356. \quad (25)$$

Ця величина теж, як і (21), достатньо близька до точкої (22), хоча точність нижньої оцінки, як завжди, гірша (у (25) правильні лише три знаки) від верхньої оцінки з тою ж пробною функцією.

Розглянемо також наближення для пробної хвильової функції основного стану у вигляді добутку так званих факторів Ястрова

$$\psi(r_{12}, r_{13}, r_{23}) = \chi(r_{12})\chi(r_{13})\chi(r_{23}), \quad (26)$$

де  $\chi$  — деяка варіаційна функція. У загальному випадку хвильових функцій трьох частинок з нульовим повним моментом у координатах

$$x = r_{12}, y = r_{13}, z = r_{23}$$

рівняння Шредінгера для системи (7) може бути записано у вигляді

$$\left\{ -\frac{1}{2} \left[ \frac{1}{x^2} \frac{\partial}{\partial x} x^2 \frac{\partial}{\partial x} + \frac{x^2 + y^2 - z^2}{2xy} \frac{\partial^2}{\partial x \partial y} \right] - \frac{1}{x} + \text{цикл. заміна} \right\} \psi = E\psi. \quad (27)$$

Це рівняння залишається все ж занадто складним для аналітичного дослідження. Його розв'язок на класі варіаційних функцій (26) може бути отримано чисельно — наближення ястровських факторів (26) часто застосовується, зокрема у ядерних задачах. Заслуговує на увагу те, що функція (19), у якості якої ми переконалися вище, є частинним випадком (26). Ми провели чисельні розрахунки з використанням такого наближення, коли функція записувалася у вигляді розкладу

$$\chi(r) = \sum_{i=1}^K C_i e^{-\alpha_i r}. \quad (28)$$

Параметри  $C_i$  та  $\alpha_i$  варіювалися для досягнення мінімуму енергії. Збіжність розкладу (28) є достатньо швидкою. Уже при  $K = 3$  досягається значення для енергії

$$\overline{E} = -1.071486, \quad (29)$$

яке в наведених знаках при збільшенні  $K$  вже не змінюється. При цьому оптимальним ястровським фактором (повна функція (26) нормована на одиницю) є

$$\begin{aligned} \chi(r) = & 1.2349 \exp(-0.5142r) - 0.1008 \exp(-0.8497r) \\ & + 0.0082 \exp(-2.655r). \end{aligned} \quad (30)$$

Результат (29) дещо ліпший від (21). Ястровський фактор (30) відрізняється від точного на декілька одиниць у п'ятому знакі. Ястровський фактор (30) на малих і великих відстанях менший від простої експоненти з (19) і виявляється досить близьким до неї (у випадку  $K = 1$  аналогічним чином нормований фактор Ястрова є  $\chi(r) = (16/7)^{1/6} e^{-r/2}$ ). У загальному можна сказати, що ястровські кореляції значно вичерпують внесок в енергію основного стану системи трьох гравітаційних частинок.

## II. ПРОБЛЕМА ВИВОРУ НЕЛІНІЙНИХ ВАРИАЦІЙНИХ ПАРАМЕТРІВ. СТОХАСТИЧНИЙ ВАРИАЦІЙНИЙ МЕТОД

Наявність великої кількості нелінійних варіаційних параметрів у базисних функціях та одноманітність базисних гауссових функцій має великі можливості. Варіюванням за нелінійними параметрами досягається значне поліпшення якості апроксимації функцією (2) точної хвильової функції порівняно з випадком, коли варіюються лише лінійні варіаційні параметри та один нелінійний параметр, як це робиться при використанні осциляторних базисів. Варіювання лінійних параметрів забезпечує лише оптимальний вибір лінійної комбінації жорстко заданих функцій, тоді як потрібний підбір нелінійних параметрів допомагає базисові адаптуватися до умов кожної конкретної задачі. Варіювання нелінійних параметрів визначає, наскільки важливий опис малих чи великих відстаней у системі, наявність тих чи інших особливостей поведінки хвильової функції, а велика кількість нелінійних варіаційних параметрів забезпечує базисові необхідну гнучкість. Але водночас велика кількість параметрів варіювання приводить до виникнення деяких труднощів, пов'язаних з їх оптимальним вибором. Оптимальний вибір нелінійних параметрів становить основну проблему при реалізації високоточних варіаційних схем. Від розв'язку цієї проблеми багато в чому залежить ефективність проведення тих чи інших розрахунків.

Існує велика кількість можливих стратегій вибору нелінійних параметрів. Першим і найпростішим з них є випадковий вибір підряд усіх параметрів із зададегідь заданої області. Такий вибір може застосовуватись, якщо значення параметрів, за допомогою яких можна достатньо точно описати істинну хвильову функцію, зосереджені у відносно невеликій області, яку достатньо щільно можна охопити реальною

кількістю  $K$  базисних функцій. Цей підхід, як свідчить досвід, може бути ефективним у тричастинкових розрахунках в експонентному базисі [33]. Однак при використанні гауссового варіаційного базису, де розкид оптимальних значень параметрів є досить великим і різко зростає зі збільшенням кількості базисних функцій, вибір підряд усіх нелінійних параметрів не ефективний. Він не забезпечує необхідної швидкості збіжності і потребує розрахунків у великих базисах, що своєю чергою може створити проблеми з чисельною нестійкістю розрахунків. Такий спосіб при розрахунках у гауссовому базисі потребує суттєвої модифікації.

Другий можливий спосіб вибору нелінійних варіаційних параметрів полягає у знаходженні мінімуму одночасно за всіма параметрами. Повна оптимізація, хоча й дозволяє одержати результат з певною точністю за мінімально можливої розмірності базису, проте натрапляє на значні труднощі при необхідності отримати прецизійні результати. По-перше, це досить великі затрати машинного часу для розрахунків навіть при не дуже великих  $K$ . По-друге, з ростом  $K$  сильно ускладнюється рельєф ефективного функціонала енергії і, як правило, з'являється велика кількість локальних мінімумів у просторі нелінійних параметрів.

Знаходження глобального або хоча б просто достатньо глибокого мінімуму стає з розширенням базису все складнішим. Зокрема в тестах, які ми проводили для систем трьох гравітаційних частинок, досягнення  $K \sim 12\text{--}15$  вимагало вже значних зусиль, хоча відповідна кількість нелінійних параметрів функціонала становить 36–45 і не є дуже великою. Така кількість базисних функцій недостатня для прецизійних розрахунків у розгляданій задачі. Водночас для інших задач, зокрема ядерних, повна мінімізація може бути доцільною [14, 15].

Окрім того, для збуджених станів при мінімізації часто виникає проблема “злипання” окремих функцій, тобто деякі базисні функції стають майже лінійно залежними. Таке “злипання” приводить до майже виродженості матриці перекриття  $S$  з (3) і, як наслідок, чисельної нестійкості розрахунку. Таким чином, одночасна оптимізація за всіма нелінійними параметрами з великими розмірностями базису містить у собі чимало проблем і перспективи такого підходу в нашому випадку залишаються доволі примарними. Хоча слід відзначити, що останнім часом з'являються праці, присвячені вдосконаленню цієї схеми [34, 35]. Можливе обчислення градієнта та матриці Гессе як функцій нелінійних параметрів з невеликими машинними затратами. Обрахунок усіх компонент градієнта потребує менше часу, ніж одноразове обчислення енергії, а обрахунок матриці Гессе — такого ж порядку, як і обчислення енергії. А можливість швидкого обрахунку цих величин значно прискорює процес пошуку мінімуму.

Третім способом вибору нелінійних варіаційних параметрів є так званий стохастичний варіаційний метод (СВМ), який уперше був запропонований у пра-

цях [7, 9]. Цей метод у поєднанні з використанням гауссового варіаційного базису виявився досить потужним інструментом для проведення розрахунків різноманітних систем декількох частинок. Досить показовими в цьому плані є результати праць [12, 13], де було проведено розрахунки енергетичних станів деяких ядерних та кулонових систем, що складаються з 2–7 частинок. Тут базис розширяється поступово, крок за кроком. На кожному кроці, тобто при додаванні чергового члена в (2), генерується  $M$  випадкових  $K$ -вимірних точок  $\alpha^{(i)} = (a_1^{(i)}, a_2^{(i)}, \dots, a_K^{(i)})$ , де  $K$  — кількість нелінійних варіаційних параметрів в одній базисній функції. Дляожної з цих  $M$  точок знаходиться відповідне її значення енергії. З усіх цих точок-кандидатів залишається та, яка дає найбільше пониження енергії. Аналогічно робляться й інші кроки. Функція розподілу для генерації цих точок може бути заданою якимось апріорним чином, виходячи з фізичних міркувань, або конструкується в процесі нарощування базису на основі розподілу найліпших точок, отриманих на всіх попередніх кроках. У принципі, на кожному кроці можна додавати навіть не по одній функції, а по декілька, хоча здебільшого ефективність методу від цього знижується. При використанні подібної стратегії система сама відбирає найбільш підхожі базисні функції. Причому якість відбору легко контролюється кількістю  $M$  випадкових точок-кандидатів на кожному кроці. Залежно від  $M$  буде змінюватись й кількість членів у розкладі (2), за наявності яких досягається потрібна точність. Але звичайно область для маневрування тут не обмежена. Використання СВМ забезпечує необхідну гнучкість і дозволяє отримувати результати з високою точністю в базисах не дуже великої розмірності. Щоправда, це досягається тим, що статистичні випробування здійснюються багато разів на кожному кроці, для чого потрібно багаторазово розв'язувати задачу на власні значення (3). Тому досить важливою є ефективна організація розрахунків. Не обов'язково при кожному випробуванні розв'язувати цю задачу з “нуля”, а можна використовувати роботу, виконану на попередніх кроках, що дає суттєву економію машинного часу. У праці [12] наведено одну з таких економічних схем розв'язку задачі (3). Однак у наших розрахунках ми використовували іншу схему. У ній потрібний власний вектор с знаходимо методом зворотних ітерацій [36]

$$(H - \varepsilon_0 S)c_{k+1} = Sc_k, \quad (31)$$

де  $\varepsilon_0$  — наближення до шуканого власного значення. Як правило, достатньо чотирьох–п'яти ітерацій (при не досить грубому наближенні  $\varepsilon_0$ ), тобто розв'язків системи лінійних алгебричних рівнянь (31), щоб отримати власний вектор з достатньою точністю. Для факторизації матриці  $A = H - \varepsilon_0 S$  використано трохи змінену схему Холецького [37]

$$A = LDL^T,$$

де  $L$  — нижня трикутна матриця з одиничною діагональлю,  $D$  — діагональна матриця,  $L^T$  — транспонована до  $L$  матриця. Якщо користуватися таким типом факторизації, то при кожному випробуванні не потрібно заново факторизувати матрицю  $A$ , а лише необхідно знайти останню стрічку матриці  $L$ . Це потребує  $\sim \mathcal{K}^2$  операцій, тоді як повна факторизація потребує  $\sim \mathcal{K}^3$  операцій ( $\mathcal{K}$  — порядок матриць). Значення власного вектора за допомогою зворотних ітерацій (31) теж потребує  $\sim \mathcal{K}^2$  операцій.

У наших розрахунках ми зупинилися на використанні СВМ, як на найефективнішому методі. Це дозволило нам отримати з високою точністю результати, які в інших схемах навряд чи могли б бути досягнуті. Розподіл нелінійних варіаційних параметрів ми будували таким чином, що густота ймовірності на  $N+1$ -му кроці мала вигляд такої суми  $K$ -вимірних нормальних розподілів:

$$P(a_1, a_2, \dots, a_K) = \frac{1}{N} \sum_{i=1}^N \prod_{j=1}^K \frac{1}{\sqrt{2\pi(\sigma_j^{(i)})^2}} \times \exp \left\{ -\frac{1}{2} \left( \frac{a_j - \mu_j^{(i)}}{\sigma_j^{(i)}} \right)^2 \right\}, \quad (32)$$

де в ролі математичного очікування  $\mu_j^{(i)}$  виступало  $a_j^{(i)}$  — значення  $j$ -го нелінійного параметра функції, приєднаної до базису на  $i$ -му кроці методу. Відповідну дисперсію здебільшого теж брали рівною цій величині:  $\sigma_j^{(i)} = a_j^{(i)}$ . Щоправда, за таким законом деколи можуть генеруватися точки, що не задовільняють умову, згідно з якою базисна функція має бути квадратично інтегровною. Але таких точок генерується загалом небагато, і вони одразу відкидалися як некоректні.

Перш ніж як безпосередньо проводити варіаційні розрахунки, необхідно обчислити матричні елементи перекриття кінетичної й потенціяльної енергії, а також тих величин, середні значення яких треба знайти, на елементарних базисних функціях (5). Явні вирази для більшості потрібних матричних елементів для  $N$  частинок можна легко отримати і знайти в літературі [10, 34]. Так, для матричного елемента перекриття відповідний вираз є таким:

$$\langle \phi_i | \phi_j \rangle = \frac{\pi^{3(N-1)/2}}{D^{3/2}}, \quad (33)$$

де  $D$  — детермінант  $(N-1) \times (N-1)$  матриці  $B$ , що для системи трьох частинок має вигляд

$$B^{(3)} = \begin{pmatrix} a_{12} + a_{13} & -a_{12} \\ -a_{12} & a_{12} + a_{23} \end{pmatrix}, \quad (34)$$

а для системи чотирьох частинок

$$B^{(4)} = \begin{pmatrix} a_{12} + a_{13} + a_{14} & -a_{12} & -a_{13} \\ -a_{12} & a_{12} + a_{23} + a_{24} & -a_{23} \\ -a_{13} & -a_{23} & a_{13} + a_{23} + a_{34} \end{pmatrix}, \quad (35)$$

де  $a_{kl} = a_{kl}^i + a_{kl}^j$ .

Матричний елемент довільної функції  $f$ , що залежить від модуля певної міжчастинкової відстані  $r_{kl}$ , обчислюється за формулою [10]

$$\langle \phi_i | f(r_{kl}) | \phi_j \rangle = \langle \phi_i | \phi_j \rangle \frac{4}{\sqrt{\pi}} \int_0^\infty f(t \sqrt{D_{kl}/D}) e^{-t^2} t^2 dt, \quad (36)$$

тут  $D_{kl} \equiv \partial D / \partial a_{kl}$ .

Для матричного елемента оператора кінетичної енергії

$$K = -\frac{1}{2} \sum_{s=1}^N \Delta_s$$

вираз має такий вигляд:

$$\langle \phi_i | K | \phi_j \rangle = \langle \phi_i | \phi_j \rangle \frac{3}{2D} \sum_{k,l,s=1}^N a_{ks}^i a_{ls}^j (D_{ks} + D_{ls} - D_{kl}). \quad (37)$$

### III. РЕЗУЛЬТАТИ РОЗРАХУНКІВ З ВИСОКОЮ ТОЧНІСТЮ СИСТЕМИ ТРЬОХ ГРАВІТУЮЧИХ ЧАСТИНОК

Для системи трьох тотових гравітуючих частинок з гамільтоніяном (7) ми розглянули стани з усіма можливими типами симетрій хвильової функції стосовно перестановки частинок: повністю симетричні (бозони), з проміжною симетрією та повністю антисиметричні (ферміони). Цим симетріям щодо групи перестановок відповідають схеми Юнга [3], [21], [13]. Якісна картина розташування дискретних енергетичних рівнів така: область додатних енергій, а також від'ємні енергії вище від порогових значень енергій зв'язаних станів двох частинок належать до суцільного спектра, а дискретні рівні розташовуються нижче від двочастинкових порогів (для симетричних станів та станів з проміжною симетрією поріг становить  $-1/4$ , а для антисиметричних  $-1/16$ ) і мононотонно згущуються за кулонівським законом (14) поблизу них. Якісний аналіз у розділі I показує, що у всіх випадках існує нескінчена кількість дискретних рівнів.

Для проведення розрахунків станів з певною симетрією необхідно використовувати базисні функції, що перетворюються за незвідними представленнями

групи перестановок  $\Pi_3$ . Ці базисні функції отримують з елементарних базисних функцій  $\phi_i$  з (5) так:

$$\varphi_i = (1 + P_{13} + P_{23})(1 + P_{12})\phi_i$$

— для повносиметричних станів та

$$\varphi_i = (1 - P_{13} - P_{23})(1 - P_{12})\phi_i$$

— для антисиметричних станів. Тут  $P_{kl}$  — оператор перестановки  $k$ -ї та  $l$ -ї частинок. У випадку проміж-

ної симетрії (схема Юнга [21]) базисні функції є двокомпонентними:

$$\varphi_i = \begin{pmatrix} (1 - P_{12})(1 + P_{23})\phi_i \\ \frac{1}{\sqrt{3}}(1 + P_{12})(1 + P_{23} - 2P_{13})\phi_i \end{pmatrix}. \quad (38)$$

Зауважимо, що можна побудувати також інші еквівалентні представлення для змішаної симетрії зі схемою Юнга [21], відмінні від (38).

Стан	$E$	$\Delta E$	$\langle r_{ij} \rangle$	$\langle r_{ij}^2 \rangle$
основний	$-1.07177937297$	$2 \cdot 10^{-11}$	1.994120	5.101105
1-й збудж.	$-0.57449221540$	$4 \cdot 10^{-10}$	4.412716	25.26212
2-й збудж.	$-0.39381649823$	$1 \cdot 10^{-9}$	8.096199	90.15719
3-й збудж.	$-0.33082419747$	$9 \cdot 10^{-9}$	13.45114	265.2974
4-й збудж.	$-0.30199256558$	$3 \cdot 10^{-8}$	20.27769	627.9502
5-й збудж.	$-0.28625287533$	$2 \cdot 10^{-7}$	28.60918	1281.222

Таблиця 2. Результати розрахунку енергії та міжчастинкових відстаней для системи трьох тотожних гравітуючих бозонів з нульовим повним моментом за стохастичною схемою (розмірність базису — 300 функцій).

Стан	$E$	$\Delta E$	$\langle r_{ij} \rangle$	$\langle r_{ij}^2 \rangle$
основний	$-0.4528869754$	$3 \cdot 10^{-10}$	5.641768	41.98945
1-й збудж.	$-0.3595387446$	$4 \cdot 10^{-9}$	9.968919	142.8359
2-й збудж.	$-0.3167897461$	$6 \cdot 10^{-9}$	15.84655	378.5920
3-й збудж.	$-0.2947441034$	$1 \cdot 10^{-7}$	23.24462	838.6774
4-й збудж.	$-0.2820102558$	$1 \cdot 10^{-6}$	32.14990	1634.279
5-й збудж.	$-0.2740165869$	$3 \cdot 10^{-6}$	42.55833	2899.067

Таблиця 3. Результати розрахунку енергії та міжчастинкових відстаней з проміжною симетрією [21] для системи трьох гравітуючих частинок з нульовим повним моментом за стохастичною схемою (розмірність базису — 300 функцій).

Стан	$E$	$\Delta E$	$\langle r_{ij} \rangle$	$\langle r_{ij}^2 \rangle$
основний	$-0.127544520838$	$5 \cdot 10^{-12}$	17.79754	400.3189
1-й збудж.	$-0.107698371021$	$7 \cdot 10^{-12}$	24.74575	828.6225
2-й збудж.	$-0.095065919047$	$4 \cdot 10^{-11}$	33.34761	1574.868
3-й збудж.	$-0.086952266946$	$3 \cdot 10^{-10}$	43.56048	2778.382
4-й збудж.	$-0.081502976958$	$5 \cdot 10^{-9}$	55.30590	4591.176
5-й збудж.	$-0.077681565396$	$3 \cdot 10^{-8}$	68.56575	7189.634

Таблиця 4. Результати розрахунку енергії та міжчастинкових відстаней для системи трьох тотожних гравітуючих безспінових ферміонів (антисиметричні стани) з нульовим повним моментом за стохастичною схемою (розмірність базису для основного стану — 200 функцій, для першого збудженого — 250, для всіх інших — 300 функцій).

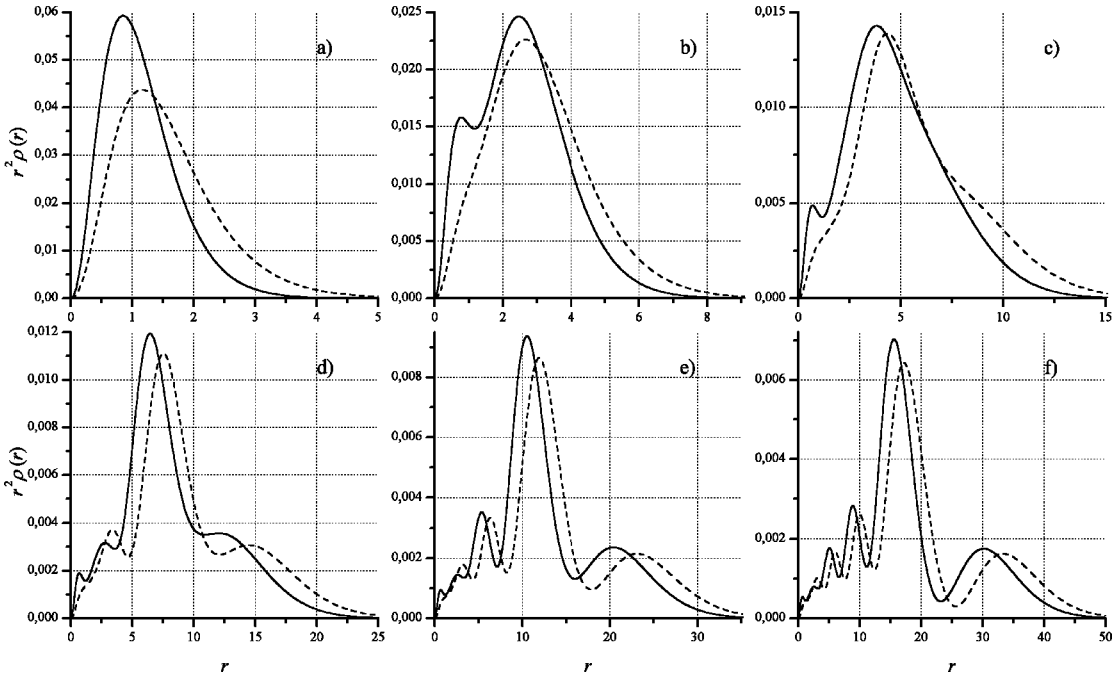


Рис. 1. Розподіли густини частинок для системи трьох ґравітуючих бозонів: а)–ф) відповідно для основного та перших п'яти збуджених станів. Суцільні криві — високоточні варіаційні розрахунки, штриховані криві — кластерне безполяризаційне наближення.

Для всіх трьох типів симетрій ми провели розрахунок основного та перших п'яти збуджених станів з нульовим орбітальним моментом (нагадаємо, що для кожної з симетрій енергетичний спектр безмежний). Для досягнення прийнятної точності виявилось достатнім обмежитися кількістю базисних функцій  $\varphi_i$ , що дорівнює  $K = 300$ . А для основного та первого збудженого стану з повністю антисиметричною хвильовою функцією через технічні причини (досягнута точність межує з похибками машинної арифметики та матричних обчислень) ми обмежилися навіть  $K = 200$  та  $K = 250$  базисними функціями відповідно. Окрім енергії зв'язку, були розраховані середні міжчастинкові відстані, середні квадрати міжчастинкових відстаней та інші важливі характеристики. Енергетичні рівні та середні відстані наведені в таблицях 2, 3 та 4 відповідно для повністю симетричних станів, станів з проміжною симетрією та антисиметричних станів. Ми наводимо також оцінку значень похибок, отриманих для енергії результатів. Зазначимо, що збіжність значень енергії зі збільшенням кількості враховуваних базисних функцій, особливо для основного стану, є достатньо швидкою. Для антисиметричних станів швидкість збіжності є навіть трохи більшою, ніж для симетричних — для антисиметричних функцій не важлива їхня поведінка в околі точок попарних зіткнень частинок, бо вони там зануляються. А симетричні функції в околі цих точок досягають максимуму, і така область при розрахунках з дуже великою точністю відіграє певну роль, оскільки в цих точках точна функція має гострий максимум (мається на увазі максимум по одній змінній). У цих точ-

ках істинна хвильова функція має “загострення” (залежить лінійно від  $r$ ), а гауссоїди (як функції  $r^2$ ), за допомогою яких вона будеться, — ні. Тому це викликає деяке уповільнення збіжності, бо до базису під час його побудови необхідно час від часу включати все більше  $\delta$ -подібних гауссоїд з дуже малими радіусами. Збіжність результатів зі збільшенням кількості базисних функцій  $K$  при використанні СВМ є більш-менш монотонною. Це дозволяє провести екстраполяцію отриманих значень енергії  $E(K)$  на випадок  $K \rightarrow \infty$  за деякою достатньо розумною асимптотичною формулою. Можна сподіватися, що за такими формулами є можливість хоча б оцінити порядок різниці між точним значенням та варіаційним наближенням. У наших оцінках ми використовували просту формулу [33]

$$E(K) = E(\infty) + \frac{\alpha}{K^\gamma}, \quad (39)$$

де  $E(\infty)$  — точне значення енергії,  $\alpha$  та  $\gamma$  — константи, які не залежать від  $K$ . Випробування формули (39) на прикладі системи  $e^+ e^- e^-$ , для якої значення енергії зв'язку відоме з екстремально високою точністю [38], свідчать, що така оцінка дійсно дає правдоподібні значення похибки розрахунку енергії (мається на увазі порядок величини). Тому в таблицях 2, 3 та 4 ми поряд з варіаційним значенням енергії наводимо зроблені вище вказаним чином оцінки величини  $\Delta E = E(K_{\max}) - E(\infty)$ , що є абсолютною похибкою розрахунку. Як і слід було очікувати, найбільша

точність при заданій кількості базисних функцій досягається для основного стану, а найменша — для найбільш збудженого. Це пов'язано з тим, що хвильова функція високозбуджених станів ускладнюється, у ній з'являються нові осциляції, і для їх опису необхідно врахувати все більшу кількість базисних функцій. Наші результати є суттєво точнішими, ніж результати, наведені в працях [12,32] для основного симетричного стану трьох гравітуючих частинок, та результати з праці [6] для основного і перших трьох збуджених станів, як симетричних, так і антисиметричних. У праці [6] запропоновано новий, достатньо універсальний оригінальний оптимізаційний підхід, що встановлює конфігураційну ієрархію серед базисних функцій трьох частинок. Неважкаючи на те що проведено відбір найістотніших осциляторних базисних функцій до глобального моменту  $K = 24$  і при цьому досягнуто збіжності (була досягнута принципово ліпша точність, ніж при стандартному врахуванні всіх підряд осциляторних функцій до заданої розмірності), усе ж точність цих розрахунків виявилася невисокою. Невисокої точності досягається і в методі гіперсферичних функцій, якщо враховувати тільки глобальний момент до  $K = 24$ . Наші результати як за простотою, так і точністю виконання мають суттєві переваги.

Для системи трьох частинок були виконані з високою точністю розрахунки основних фізичних характеристик, що визначаються через отримані хвильові функції. Зокрема, це розподіл густини частинок у системі центра мас

$$\rho_k(\mathbf{r}) = \langle \psi | \delta(\mathbf{r} - \mathbf{r}_k + \mathbf{R}) | \psi \rangle, \quad (40)$$

тут  $k$  — номер частинки,  $\mathbf{R}$  — координата центра мас, а  $\psi$  — нормована на одиницю хвильова функція відповідного стану. Для нульового орбітального моменту розподіл густини є сферично-симетричною функцією. Для тодіжних частинок розподіли (40) з різним  $k$  збігаються. Графіки розподілів густин для всіх розрахованих повносиметричних станів наведено на рис. 1, а для антисиметричних станів — на рис. 2. Для більш наочного зображення цих величин ми подаємо їхні графіки домноженими на  $r^2$ , що безпосередньо визначає ймовірність знаходження частинки на відстані  $r$  від центра мас системи. На рис. 1 одночасно з “точними” розподілами густини бозонів наведені також аналогічні залежності кластерного безполяризаційного наближення (для більшої наочності кожному станові відведено окремий малюнок). Останні подані як усереднені за всіма трьома частинками

$$\rho(r) = \frac{1}{3} \sum_{k=1}^3 \rho_k(r),$$

оскільки кластерна функція (8) не враховує тодіжності всіх частинок. Графіки розподілів для станів із симетрією [21] через обмежений обсяг статті ми не наводимо.

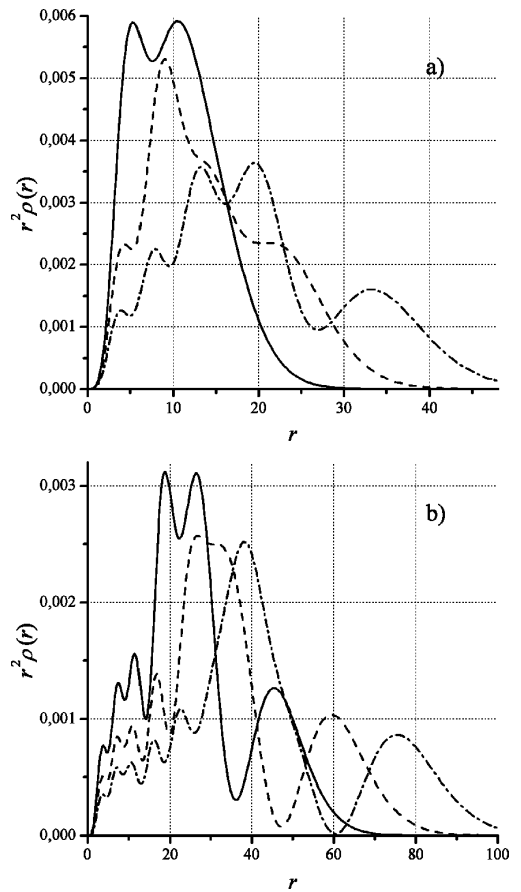


Рис. 2. Розподіли густини частинок в антисиметричних станах: а) суцільна крива — основний стан, штрихована — 1-й збуджений, штрих-пунктирна — 2-й збуджений стан; б) суцільна крива — 3-й збуджений, штрихована — 4-й збуджений, штрих-пунктирна — 5-й збуджений стан.

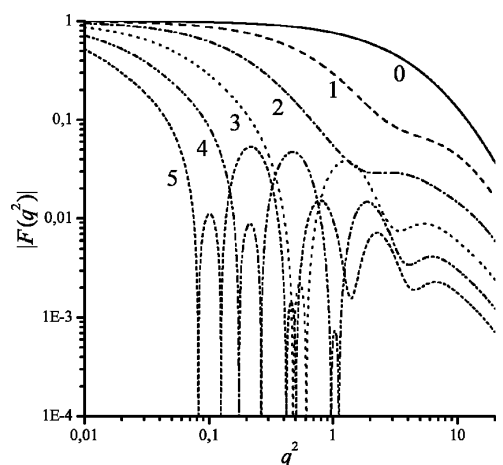


Рис. 3. Формфактори для системи трьох гравітуючих бозонів: 0 — основний стан, 1 — 5 — відповідно 1 — 5-й збудженні стані.

Щодо наведених розподілів густини відзначимо, по-перше, що для кожного наступного стану в розподілах проявляється нова осциляція — це пов'язано з характерною осцилюючою структурою хвильових функцій для різних станів типу

$$\Psi_n \approx \Phi(-n, 3; \rho^2) e^{-\rho^2/2}$$

(тут  $n$  — номер збудженого стану,  $\Phi$  — вироджена гіпергеометрична функція; така хвильова функція є точною для тричастинкової задачі гармонічних осциляторів) за квадратом глобального радіуса. Понаду, для високозбуджених рівнів протяжність розподілів значно збільшується і проявляється ефект периферійного “гало”. Потрет, в антисиметричних станах уже для основного стану присутня одна осциляція. Останнє пов'язано з тим, що антисиметрична хвильова функція навіть не є знакосталою у всьому просторі — має характерну поведінку осциляторних функцій

$$\Psi^{(a)} \approx (r_1^2 - r_2^2)(r_1^2 - r_3^2)(r_2^2 - r_3^2) e^{-\rho^2/2}, \quad (41)$$

і тому розподіл густини частинок, який є її усередненням, теж має складнішу структуру. Розподіл густини для основного стану системи зі схемою Юнга [21] має

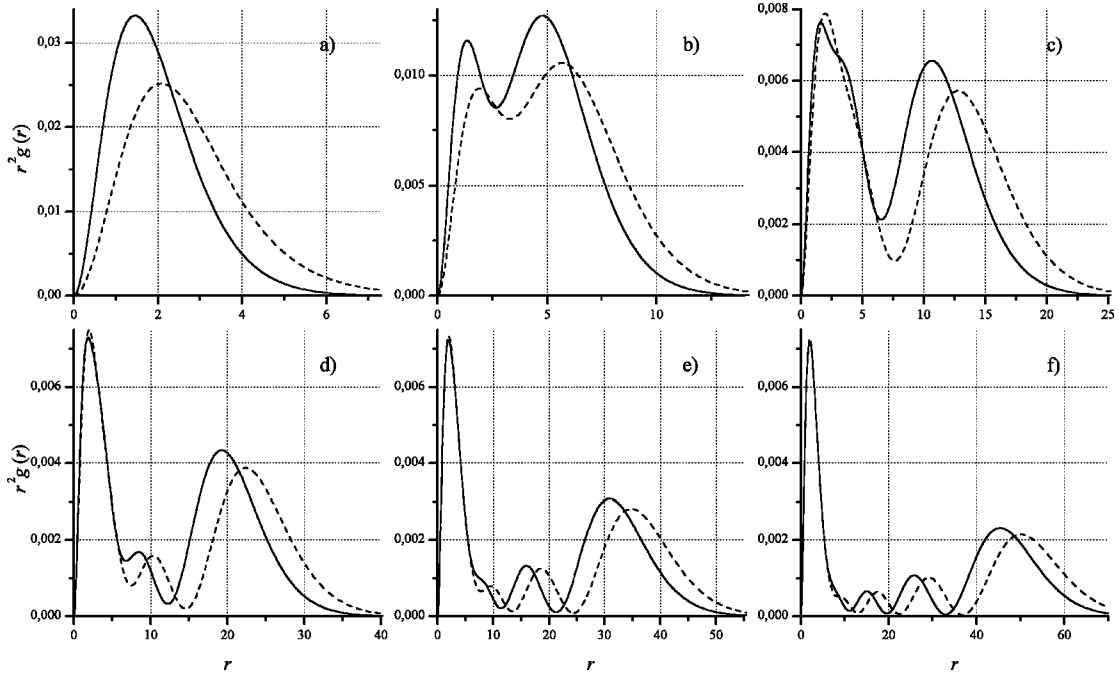


Рис. 4. Парні кореляційні функції для системи трьох гравітаційних бозонів (позначення аналогічні до рис. 1).

Особливо тонкі деталі одночастинкових розподілів густини проявляються у формфакторах, які є компонентами Фур'є від розподілів

$$F(\mathbf{q}) = \int d\mathbf{r} \rho(\mathbf{r}) \exp(i\mathbf{qr}) / \int d\mathbf{r} \rho(\mathbf{r}). \quad (42)$$

проміжний характер (через економію місця ми не подаємо цих результатів) між аналогічними залежностями для симетричних та антисиметричних станів. Як і в випадку повносиметричного стану, маємо лише один максимум на графіку  $r^2 \rho(r)$  для найнижчого стану, але цей розподіл не є монотонно спадаючим на графіку  $\rho(r)$ , а має невеликий провал на початку координат. Розподіл же “безспінових” ферміонів на графіку  $\rho(r)$  узагалі зануляється на початку координат (наслідок повної антисиметричності хвильової функції (41)). Зі зростанням збудження для всіх типів симетрій хвильової функції збільшується і кількість осциляцій у розподілі, що природно відображає факт збільшення осциляцій у самої хвильової функції. Розподіл частинок для п'ятого збудженого стану, особливо для системи “безспінових” ферміонів, має вже достатньо складний вигляд.

Порівняння кривих для розподілів частинок системи бозонів на рис. 1 з аналогічними кривими, здобутими у кластерному безполіаризаційному наближенні, говорить про те, що для основного стану цієї системи кластерне наближення ще погане. Але для п'ятого збудженого стану криві вже досить непогано узгоджуються. Крива в кластерному наближенні для високозбуджених станів досить гарно передає всі осциляції точної відповіді. Відмінністю є те, що вона трохи розтягнута в бік більших відстаней.

танням  $q^2$  відбувається швидше, для малих же  $q^2$  для більш збуджених станів формфактори спадають менше, оскільки розміри системи зростають для вищих збуджених станів. Основному станові (крива 0 на рис. 3) відповідає монотонно спадаючий формфактор, для першого і другого збуджених станів (криві 1,2)  $F(q^2)$  додатні, але мають деякі незначні нерегулярності для відносно великих  $q^2$ , для третього збудженого стану  $F(q^2)$  має два нулі для менших  $q^2$  і одну нерегулярність для більших  $q^2$ , для наступних збуджених станів з'являються ще пари нулів для менших  $q^2$  і нові нерегулярності для більших  $q^2$ . Усі особливості формфакторів досить тісно корелюють з відповідними осциляціями розподілів і відображають кластерний характер відповідних станів та периферійний ефект "гало". Підкреслимо, що в повносиметричних станах нулі формфакторів завжди з'являються парами і для великих переданих імпульсів усі формфактори додатні. Що стосується формфакторів в антисиметричних станах та станах проміжної симетрії трьох частинок (розрахунки формфакторів були виконані для всіх перших шести станів), то відзначимо, що кількість нулів у них завжди непарна — один нуль з'являється за рахунок занулення хвильової функції на малих відстанях навіть в основному стані. По-друге, крім нулів, формфактори мають додатково ще досить помітні нерегулярності, які проявляються, в основному, при менших  $q^2$ . По-третє, пара нулів формфакторів для більших збуджень відокремлюється і пересувається до великих  $q^2$ , що пов'язано з проявом кластерної структури збуджених станів та периферійним ефектом "гало".

Значний інтерес також становить парна кореляційна функція

$$g_{kl}(\mathbf{r}) = \langle \psi | \delta(\mathbf{r} - \mathbf{r}_{kl}) | \psi \rangle. \quad (43)$$

Вона визначає ймовірність знаходження  $k$ -ї та  $l$ -ї частинок на відстані  $\mathbf{r}$  між собою. Для станів з нульовим орбітальним моментом парна кореляційна функція, як і густина розподілу, є сферично симетричною. Ці розраховані тут величини зображені на рис. 4 та 5 відповідно для системи трьох гравітуючих бозонів та трьох гравітуючих "безспінових" ферміонів. Для бозонів ми також наводимо для порівняння на рис. 4 парні кореляційні функції, здобуті у кластерному безполіаризаційному наближенні й усереднені по всіх парах частинок

$$g(r) = \frac{g_{12}(r) + g_{13}(r) + g_{23}(r)}{3}.$$

Слід відзначити, що зі зростанням збудження в парних кореляційних функцій чітко відокремлюється частина, пов'язана з підсистемою двох частинок (утворення кластера). Для симетричних станів та станів проміжної симетрії на графіку присутній горб поблизу початку координат, який з ростом збудження стабілізується в розмірах і для 3-го, 4-го

та 5-го збудженого станів уже практично не змінює своєї форми. У кластерному безполіаризаційному наближенні цей горб описується залежністю

$$r^2 g_{12}(r) = r^2 \frac{e^{-r}}{8\pi}.$$

На рис. 4 видно, що в ділянці цього горба "точна" варіаційна крива збігається з кластерною.

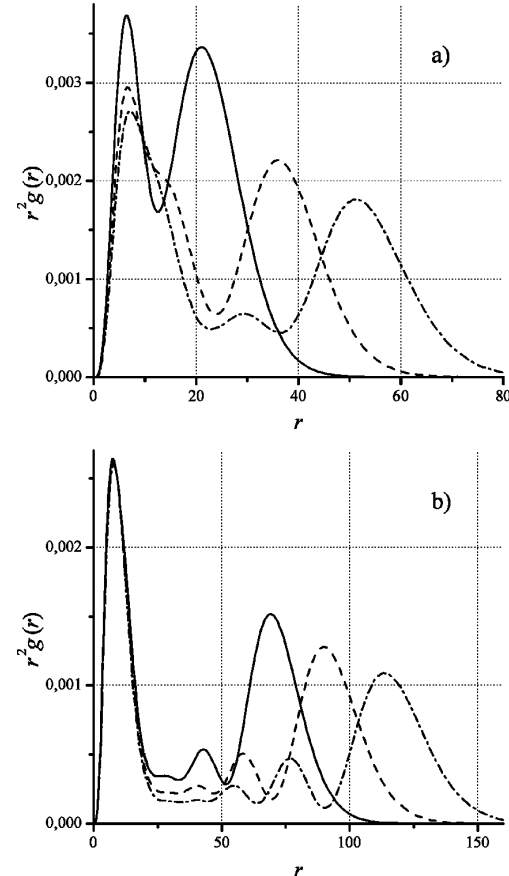


Рис. 5. Парні кореляційні функції в антисиметричних станах (позначення аналогічні до рис. 2).

Ми розрахували розподіл за імпульсами (в системі центра мас)

$$n_k(\mathbf{p}) = \langle \psi_{\mathbf{p}} | \delta(\mathbf{p} - \mathbf{p}_k) | \psi_{\mathbf{p}} \rangle. \quad (44)$$

Тут  $k$  — номер частинки, а  $\psi_{\mathbf{p}}$  — хвильова функція в імпульсному представленні. Визначення розподілу за імпульсами (44) може бути зведено до стандартного визначення імпульсного розподілу через функцію Вінера  $f(\mathbf{r}, \mathbf{p})$ . Розподіл за імпульсами є сферично симетричним у станах з нульовим орбітальним моментом. Для системи трьох гравітуючих бозонів ця величина зображена на рис. 6. Характерною особливістю імпульсних розподілів для збуджених станів є поява осциляцій, які з ростом збудження збіль-

шуються за амплітудою і зосереджуються поблизу початку координат. Цей факт пояснюється тим, що хвильова функція збуджених станів у конфігураційному просторі стає все протяжнішою за рахунок близькості до порога (ефект типу “гало”) і її осциляції відбуваються на все більших відстанях. Тому хвильова функція в імпульсному представленні з ростом збудження все більше зосереджується в нулі, де її осцилює.

Принципових відмінностей в імпульсних розподілів для систем ферміонів та проміжної симетрії від бозонних немає. Відзначимо, що вже для основного антисиметричного стану системи розподіл за імпульсами не є монотонним, а має на графіку, де відкладено  $p^2 n(p)$ , два максимуми. Крім того, кількість осциляцій в імпульсних розподілах для систем з проміжною симетрією та ферміонів на одну–три більше, ніж для таких самих за номером збудження станів для системи бозонів.

#### IV. РЕЗУЛЬТАТИ РОЗРАХУНКІВ СИСТЕМИ ЧОТИРЬОХ ЧАСТИНОК

Система чотирьох частинок характеризується ще трьома додатковими ступенями вільності (всього 6), і в багатьох методах це часто призводить до непомірно великого зростання об'єму обчислень. Варіаційний метод є одним з небагатьох, де ці труднощі хоча і виникають, проте їх зростання зі збільшенням кількості частинок відбувається значно повільнішими темпами, ніж в інших методах. Особливо ефективним є застосування методики стохастичного варіаційного методу (СВМ) до таких розрахунків. З використанням цієї методики ми провели розрахунки зв'язаних станів чотирьох тотових гравітуючих частинок з повністю симетричними за перестановками частинок станами (бозонів) з нульовим орбітальним моментом.

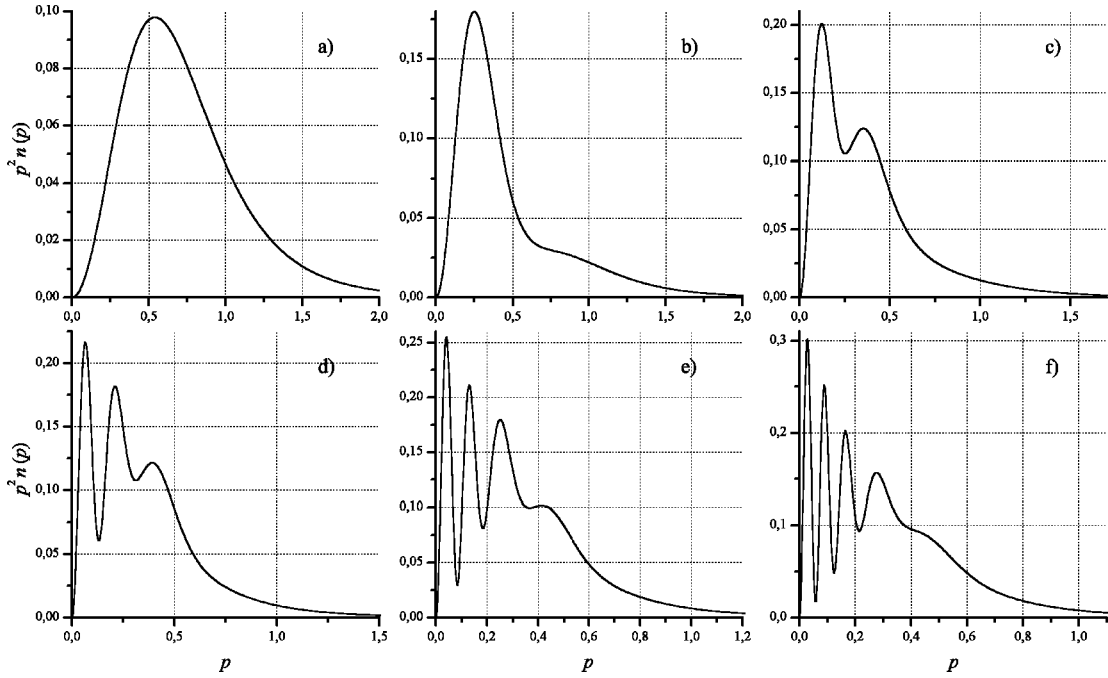


Рис. 6. Імпульсні розподіли для системи трьох гравітуючих бозонів: а)–ф) відповідно для основного та перших п'яти збуджених станів.

Варто відзначити, що для цієї системи в літературі, насільки нам відомо, відсутні дані щодо прецизійних розрахунків навіть основного стану, якщо не брати до уваги результатів праць [12,22]. Точність же результатів у цих двох працях не дуже висока.

Базисні функції для розрахунку повносиметричних станів мають такий вигляд:

$$\begin{aligned} \varphi_i = & (1 + P_{14} + P_{24} + P_{34})(1 + P_{13} + P_{23}) \\ & \times (1 + P_{12})\phi_i . \end{aligned} \quad (45)$$

Система чотирьох частинок в основному стані є

дуже сильно зв'язаною, навіть у порівнянні з системами двох та трьох частинок. Швидке зростання енергії зв'язку відображає той факт, що для системи  $N$  гравітуючих бозонів в асимптотиці  $N \rightarrow \infty$  справедливе наближення самоузгодженого середнього поля Гартрі [21,23] і енергія основного стану асимптотично точно визначається співвідношенням (16)

$$E_0 \cong -s(N-1)N^2$$

з  $s = 0.05426$ . Це для  $N = 4$  дає значення  $E_0 = -2.604$ , що відрізняється від результату з таблиці 5 всього на 7%. Відповідне наближення середнього

поля для розмірів систем дає порядок

$$R \approx \text{const}/(N - 1).$$

Оцінки положення збуджених станів  $N$  частинок у безполяризаційному кластерному наближенні, як і для трьох частинок (14), дозволяють отримати якісну картину розташування енергетичного спектра (повносиметричні стани з нульовим орбітальним моментом)

$$E_n(N) \cong E_0(N-1) - \frac{(N-1)^3/2N}{(n+1)^2}. \quad (46)$$

Тут  $n$  — номер енергетичного рівня, а для тричастинкового порога  $E_0(3) = -1.0718$ .

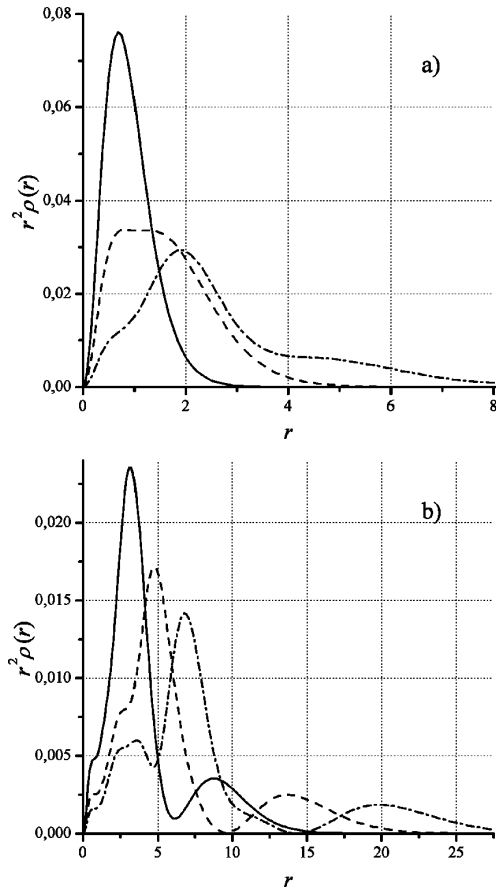


Рис. 7. Розподіл густини частинок для системи чотирьох частинок (повносиметричні стани): а) суцільна крива — основний стан, штрихована — 1-й збуджений, штрих-пунктирна — 2-й збуджений стан; б) суцільна крива — 3-й збуджений, штрихована — 4-й збуджений, штрих-пунктирна — 5-й збуджений стан.

У таблиці 5 наведені також розраховані середні міжчастинкові відстані та середні квадрати міжчастинкових відстаней. З цих даних видно, що система чотирьох гравітуючих бозонів є компактнішою, ніж відповідна система трьох частинок. Середньоквадра-

тичний радіус

$$\sqrt{\langle R^2 \rangle} = \sqrt{\frac{N-1}{2N} \langle r_{ij}^2 \rangle} \quad (47)$$

для основного симетричного стану системи трьох частинок становить 1.304, тоді як для  $N = 4$  — вже 1.027, що відповідають тенденції до колапсу [24] зі зростанням кількості частинок  $N$ .

Ми також провели розрахунок усіх структурних функцій для системи чотирьох гравітуючих бозонів. На рис. 7 наведені результати для розподілу густини. Відзначимо тенденцію, дещо швидшу від випадку для трьох частинок, до збільшення протяжності розподілів для вищих збуджених станів. Хоча основний максимум розподілів зосереджений на менших відстанях, оскільки розміри в системі чотирьох частинок менші. На рис. 8 подані результати для парних кореляційних функцій. Як і для випадку трьох частинок, у парній кореляційній функції чітко відокремлюється на менших відстанях “кластерний” горб чотирьох частинок, місце положення якого досить стабільне для третього і вищих збуджених станів. Загалом же якісна поведінка парної кореляційної функції для системи чотирьох бозонів схожа на поведінку аналогічної характеристики для системи трьох бозонів.

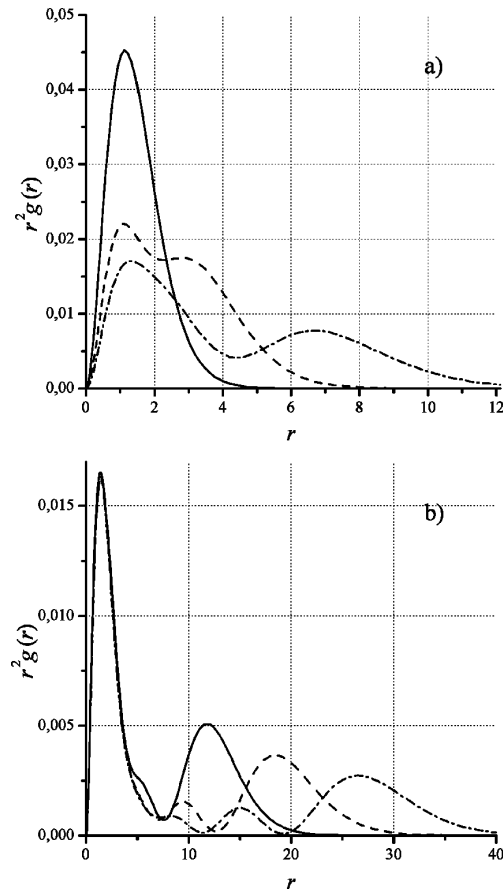


Рис. 8. Парні кореляційні функції для системи чотирьох частинок (позначення аналогічні до рис. 7).

Стан	$E$	$\Delta E$	$\langle r_{ij} \rangle$	$\langle r_{ij}^2 \rangle$
основний	-2.790732919	$9 \cdot 10^{-9}$	1.494446	2.814207
1-й збудж.	-1.847144953	$2 \cdot 10^{-7}$	2.626669	9.133528
2-й збудж.	-1.414437961	$7 \cdot 10^{-7}$	4.326888	27.83753
3-й збудж.	-1.271189584	$3 \cdot 10^{-6}$	6.579445	73.13865
4-й збудж.	-1.202894262	$8 \cdot 10^{-6}$	9.338141	161.3024
5-й збудж.	-1.164944425	$2 \cdot 10^{-5}$	12.52404	309.7477

Таблиця 5. Результати розрахунку енергії та міжчастинкових відстаней для системи чотирьох тотожних гравітуючих бозонів з нульовим повним моментом за стохастичною схемою (розмірність базису — 600 функцій).

## V. ОБГОВОРЕННЯ РЕЗУЛЬТАТИВ

Зупинімось на застосуванні результатів прецизійних варіаційних розрахунків системи трьох та чотирьох гравітуючих частинок до систем частинок з потенцієм типу Юкави. Системи гравітуючих частинок можна розглядати як нульове наближення сильного зв'язку [19]. Розглянемо систему  $N$  частинок з гамільтоніаном

$$H = -\frac{1}{2} \sum_{i=1}^N \Delta_i - g \sum_{i < j}^N \frac{f(\mu r_{ij})}{r_{ij}}, \quad (48)$$

де функція  $f$  на малих відстанях може бути записана як

$$f(x) = 1 + \sum_{k=1}^{\infty} \alpha_k x^k. \quad (49)$$

Зокрема для потенціялу Юкави  $f(\mu r_{ij}) = e^{-\mu r_{ij}}$ . Ефективна малість параметра  $\mu$  (ефективно великий радіус взаємодії) має місце [19] як при великій інтенсивності взаємодії ( $g \gg 1$  — сильний зв'язок), так і при великому характерному радіусі взаємодії. У цьому випадку суттєвим стає поведінка потенціалів взаємодії на малих відстанях. У рівнянні Шредінгера

$$\left[ -\frac{1}{2} \sum_{i=1}^N \Delta_i - g \sum_{i < j}^N \frac{1}{r_{ij}} - g \sum_{i < j}^N \sum_{k=2}^{\infty} \alpha_k \mu^k r_{ij}^{k-1} \right] \psi = \left[ E + g \alpha_1 \mu_1 \frac{N(N-1)}{2} \right] \psi \quad (50)$$

можна скористатися теорією збурень для знаходження рівнів енергії  $E$ , використавши в ролі нульового наближення задачу про  $N$  гравітуючих частинок. Тоді в першому порядку теорії збурень для  $n$ -го рівня енергії маємо

$$E_n \cong g^2 E_n^{\text{grav}} - \frac{N(N-1)}{2} g^2 \left[ \alpha_1 \frac{\mu}{g} + \langle r_{ij} \rangle_n \alpha_2 \left( \frac{\mu}{g} \right)^2 + \langle r_{ij}^2 \rangle_n \alpha_3 \left( \frac{\mu}{g} \right)^3 \right], \quad (51)$$

де  $E_n^{\text{grav}}$  — значення енергії  $n$ -го рівня незбуреної задачі з гамільтоніаном (6). Для врахування членів розкладу потенціалу  $\sim \mu^4$  і вище необхідно розглянути й другий порядок теорії збурень, що ми не маємо змоги зробити. Для аналізованого випадку  $N = 3, 4$  частинок середні значення  $\langle r_{ij} \rangle$  та  $\langle r_{ij}^2 \rangle$  наведені в таблицях 2 та 5. Відзначимо, що, використовуючи лише перший порядок теорії збурень, вдається враху-

вати дві поправки енергії до членів  $(\mu/g)^3$  включно. Співвідношення (51) з використанням таблиць 2 та 5 дає якісну поведінку енергетичних рівнів (залежність типу  $E \cong -C_{-2} g^2 + C_{-1} g + C_0 + C_1/g + \dots$  [19]) в наближенні сильного зв'язку  $g \gg 1$  для трьох та чотирьох частинок і широкого класу потенціалів типу Юкави. Зауважимо, що для задач трьох та чотирьох частинок з потенціалами Юкави тепер доступні й без-

посередні високоточні розрахунки з використанням підходів цієї праці.

Виконані в праці дослідження показують, що для кулоноподібних систем трьох та чотирьох частинок у варіаційному методі РРТБГ з гауссовим базисом досягається висока і контролювана точність розрахунків як енергетичних спектрів, так і хвильових функцій. Це дозволило для "точних" розподілів густини, формфакторів, двочастинкових кореляційних функцій та імпульсних розподілів установити нові структурні закономірності. Зокрема, установлено нове явище осциляцій розподілів густини і формфакторів та кореляцію цих осциляцій з номером збудження. Аналіз отриманих "точних" двочастинкових кореляційних функцій показує також характерні структурні залежності від енергетичного стану.

Отримані з високою точністю енергетичні спектри та хвильові функції зручні для використання в дослідженнях різного типу ймовірностей переходів.

Порівняльний аналіз наближених якісних резуль-

татів для основних характеристик трьох та чотирьох частинок з отриманими в нашій роботі "точними" результатами дає змогу встановити точність стандартних підходів. Так, для систем декількох частинок подано обґрунтування точності безполіаризаційного кластерного підходу, методу ястровських факторів, наближення середнього поля та сильного зв'язку.

Усі ці результати відкривають багатонадійні перспективи на отримання остаточних результатів і для інших складніших квантових систем: кулонових систем різної природи — йона та молекули позитронію, легких атомів, три- та чотиричастинкових систем мезомолекулярного типу, мультиваркових систем з потенційною взаємодією, різноманітних ядерних та кулонових систем з більшою ніж чотири кількістю частинок та більш реалістичною кулон-ядерною взаємодією.

Ця робота частково підтримана ДФФД Міністерства науки і технологій України — грант 2.4/678

- [1] С. Г. Михлин, *Вариационные методы в математической физике* (Наука, Москва, 1970).
- [2] S. H. Gould, *Variational Methods for Eigenvalue Problems* (University of Toronto Press, Toronto, 1966).
- [3] *Abstract Booklet, 16-th European Conference on Few-Body Problems in Physics* (Grenoble, France, 1998).
- [4] D. M. Fromm, R. N. Hill, Phys. Rev. A **36**, 1013 (1987).
- [5] F. Harris, Rhys. Rev. A **55**, 1820 (1997).
- [6] I. В. Сименог, О. М. Пушкаш, А. Б. Бестужева, Укр. фіз. журн. **40**, 1138 (1995).
- [7] В. И. Кукулин, Изв. Акад. Наук СССР, сер. физ. **39**, 535 (1975).
- [8] В. М. Краснопольский, В. И. Кукулин, Изв. Акад. Наук СССР, сер. физ. **39**, 543 (1975).
- [9] V. I. Kukulin, V. M. Krasnopol'sky, J. Phys. G **3**, 795 (1977).
- [10] Н. Н. Колесников, В. И. Тарасов, Яд. физ. **35**, 609 (1982).
- [11] K. Varga, Y. Suzuki, I. Tanihata, Phys. Rev. C **52**, 3013 (1995).
- [12] K. Varga, Y. Suzuki, Phys. Rev. C **52**, 2885 (1995).
- [13] K. Varga, Y. Suzuki, Phys. Rev. A **53**, 1907 (1996).
- [14] Б. Є. Гринюк, І. В. Сименог, Укр. фіз. журн. **45**, 21 (2000).
- [15] Б. Є. Гринюк, І. В. Сименог, Укр. фіз. журн. **45**, 625 (2000).
- [16] P. Jetzer, Phys. Repts. **220**, 163 (1992).
- [17] M. Membrado, A. F. Pacheco, J. Sanudo, Phys. Rev. A **39**, 4207 (1989).
- [18] R. Ruffini, S. Bonazzola, Phys. Rev. **187**, 1767 (1969).
- [19] И. В. Сименог, Яд. физ. **10**, 281 (1969).
- [20] Н. П. Охрименко, И. В. Сименог, Яд. физ. **50**, 177 (1989)..
- [21] I. В. Сименог, Укр. фіз. журн. **17**, 1906 (1972).
- [22] I. В. Сименог, Укр. фіз. журн. **17**, 1911 (1972)..
- [23] I. V. Simenog, Phys. Lett. B **40**, 53 (1972).
- [24] И. В. Сименог, Теор. мат. физ. **15**, 266 (1973).
- [25] Л. Г. Заставенко, Теор. мат. физ. **15**, 307 (1973).
- [26] E. H. Lieb, B. Simon, Phys. Rev. Lett. **31**, 681 (1973).
- [27] И. В. Сименог, Теор. мат. физ. **20**, 235 (1974).
- [28] P. Hertel, W. Thirring, Commun. Math. Phys. **24**, 22 (1971).
- [29] E. H. Lieb, B. Simon, J. Chem. Phys. **61**, 735 (1974).
- [30] Т. К. Ребане, Журн. эксп. теор. физ. **99**, 1658 (1991).
- [31] Т. К. Ребане, О. Н. Юсупов, Опт. спектроскоп. **73**, 875 (1992).
- [32] Т. К. Ребане, О. Н. Юсупов, Журн. эксп. теор. физ. **102**, 1762 (1992).
- [33] А. М. Фролов, Журн. эксп. теор. физ. **92**, 1959 (1987).
- [34] D. B. Kinghorn, Int. J. Quantum Chem. **57**, 141 (1996).
- [35] A. Kolakowska, J. D. Talman, Phys. Rev. E **53**, 4236 (1996).
- [36] Б. Парлетт, *Симметричная проблема собственных значений* (Мир, Москва, 1983).
- [37] Дж. Уилкинсон, К. Райнш, *Справочник алгоритмов на языке АЛГОЛ. Линейная алгебра* (Машиностроение, Москва, 1976).
- [38] A. M. Frolov, Phys. Rev. A **57**, 2436 (1998).

**PRECISE VARIATIONAL CALCULATIONS OF ENERGY SPECTRA  
OF COULOMB-TYPE THREE- AND FOUR-PARTICLE SYSTEMS**

S. M. Bubin<sup>1</sup>, I. V. Simenog<sup>1,2</sup>

<sup>1</sup>*Department of Physics, Taras Shevchenko Kyiv National University,*

*6 Hlushkov Av., Kyiv, UA-03127, Ukraine*

*e-mail: buben@i.am*

<sup>2</sup>*Bogolyubov Institute for Theoretical Physics of the National Academy of Sciences of Ukraine,*

*14-b Metrologichna Str., Kyiv, UA-03143, Ukraine*

*e-mail: isimenog@bitp.kiev.ua*

We consider basing on the Galerkin variational method with the Gaussian basis, the bound states of the Coulomb-type quantum systems of gravitating identical particles. The approach is applied to the three-particle system with a varying permutational symmetry of wave functions and to the four-particle system with fully symmetrical wave functions. A qualitative analysis of the energy spectra is performed. The contribution of Jastrow's correlations to the ground-state energy of the three-boson system is studied. Precise calculations of the binding energies of the ground state and a few lowest states with zero angular momentum are carried out. The rms radii, density distributions and formfactors, pair correlation functions, and momentum distributions are calculated and analysed for different energy states. The energies of the systems with the Yukawa-type interaction potentials are estimated. Some methods of highly accurate variational calculations are discussed. A significant attention is given to the problem of selecting nonlinear variational parameters.